

# IN2070 - Repetisjon del 2

---

18. mai 2022

- Naboskapsoperasjoner del 1 og 2
- Morfologi
- Kompresjon og koding del 1 og 2
- Farger og fargerom

# Regne ut en konvolusjon

Konvolusjon mellom et filter  $h$  og bilde  $f$ :

$$g(x, y) = \sum_{s=x-a}^{x+a} \sum_{t=y-b}^{y+b} h(x-s, y-t)f(s, t)$$

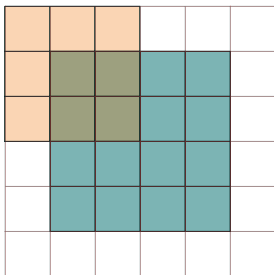
- Regne ut responsen i en posisjon  $(x, y)$ :
  1. Roter konvolusjonsfilteret 180 grader
  2. Legg det roterte filteret over bildet slik at filterets origo overlapper posisjonen  $(x, y)$  i bildet
  3. Multipliser hver vekt i det roterte konvolusjonsfilteret med underliggende pikselverdi
  4. Summen av produktene gir responsen  $g(x, y)$
- Regne ut responsen i alle posisjoner: Flytt filteret over bildet og beregn responsen for hver posisjon med overlapp

## Hvor stort blir utbildet?

- **Alt. 1:** Beregn pikselverdier bare der hele filteret er innenfor innbildet.

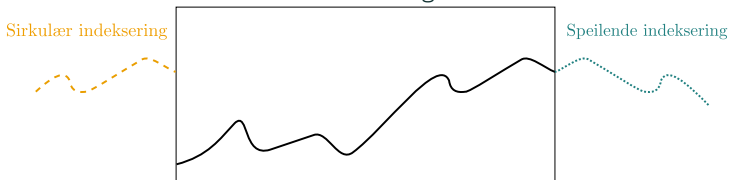
Hvis bildet er  $M \times N$  og filteret er  $m \times n$  ( $m, n$  odde), vil utbildet få størrelse:  $(M - m + 1) \times (N - n + 1)$ .

- **Alt. 2:** Behold innbildets størrelse:
  - Filterorigo innenfor innbildet
  - Langs bilderanden må det gjøres et valg:
    - **Utvide** bildet ved å legge til flere verdier rundt det
    - Endre filterets form og størrelse



# Hva gjør vi langs bilderanden?

- Utvid innbildet:
  - Med 0-ere (nullutvidelse, zero padding)
  - Med en annen, konstant verdi som f.eks bildets gjennomsnitt
  - Ved nærmeste pikselverdi
  - Ved bruk av speilende indeksering
  - Ved bruk av sirkulær indeksering



- Sett pikselet til utbildet til en fast verdi, f.eks  $g(x, y) = 0$  eller  $g(x, y) = f(x, y)$
- Ignorerer posisjonene uten fullt overlapp (men mindre utbilde)

$$g(x, y) = \sum_{s=-a}^a \sum_{t=-b}^b h(s, t)f(x + s, y + t)$$

- Ulikt fra konvolusjon at det er pluss istedenfor minus  $\rightarrow$  betyr vi ikke skal rotere filteret!
- Tilsvarende som konvolusjon: legger korrelasjonsfilterets origo over  $(x, y)$  og multipliserer hver vekt med underliggende pikselverdi. Responsen i  $(x, y)$  er summen av disse produktene.

- Filtre som slipper gjennom *lave frekvenser* og demper/fjerne høye frekvenser
  - **Lave frekvenser:** Trege variasjoner, store trender, myke overganger
  - **Høye frekvenser:** Skarpe kanter, støy detaljer
  - ... dette kommer vi tilbake til i Fourier-forelesningene!
- Effekt fra lavpassfiltre: Glatting/utsmøring/"blurring" av bildet
- Typiske mål: Fjerne støy, finne større objekter
- Utfordring: Vi ønsker å bevare kanter!

- For heltallsverdier av  $x$  og  $y$ , er Gauss-filteret definert ved

$$h(x, y) = A \exp\left(-\frac{(x^2 + y^2)}{2\sigma^2}\right),$$

der  $A$  settes slik at summen av vektene blir 1

- Ikke-uniformt lavpassfilter

- **Middelverdifilter:**

- Glatter lokale variasjoner og støy, men også kanter
- Spesielt god på lokale variasjoner, som kan være mild støy i mange pikselverdier

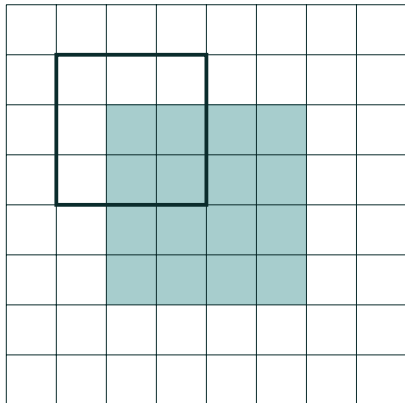
- **Medianfilter:**

- Bedre på visse typer støy og til å bevare kanter, men dårligere på lokal variasjon og annen type støy
- Fungerer spesielt godt på salt-pepper-støy



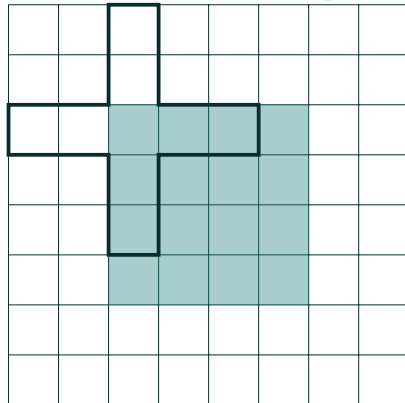
- Lager en 1D-liste av alle pikslene i naboskapet om  $(x, y)$
- Listen sorteres i stigende rekkefølge
- Responsen i  $(x, y)$  er åksselverdien i en bestemt posisjon i den sorterte listen, eller en veiet sum av en del av listen
- Dette er et **ikke-lineært** filter

Kvadratisk naboskap:



Hjørnene avrundes

Pluss-formet naboskap:



Hjørnene bevares

- Slipper gjennom høye frekvenser og demper/fjerner lave frekvenser
- Effekt:
  - Demper langsomme variasjoner
  - Fremhever skarpe kanter, linjer og detaljer
- **Typiske mål:** Forbedre skarpheten, detektere kanter
- Utfordring: Kan risikere å fremheve støy!

# Høypassfiltrering med konvolusjon

- Summen av vektene i konvolusjonsfilteret er typisk 0
- Får positive og negative pikselverdier i utbildet
- Kan være uheldig å alltid bruke resultatet etter konvolusjonen med et høypassfilter,  $g(x, y)$ , sin absoluttverdi,  $|g(x, y)|$
- For framvisning: Gjør  $g(x, y)$  positiv med å addere med en konstant og skalér resultatet til et ønsket intervall
- Antar her nullutvidelse og bruker alle posisjoner med overlapp!

- Prewitt-operatoren:

$$h_x = \begin{pmatrix} 1 & 1 & 1 \\ 0 & 0 & 0 \\ -1 & -1 & -1 \end{pmatrix} \quad h_y = \begin{pmatrix} 1 & 0 & -1 \\ 1 & 0 & -1 \\ 1 & 0 & -1 \end{pmatrix}$$

- Sobel-operatoren:

$$h_x = \begin{pmatrix} 1 & 2 & 1 \\ 0 & 0 & 0 \\ -1 & -2 & -1 \end{pmatrix} \quad h_y = \begin{pmatrix} 1 & 0 & -1 \\ 2 & 0 & -2 \\ 1 & 0 & -1 \end{pmatrix}$$

- Frei-Chen-operatoren:

$$h_x = \begin{pmatrix} 1 & \sqrt{2} & 1 \\ 0 & 0 & 0 \\ -1 & -\sqrt{2} & -1 \end{pmatrix} \quad h_y = \begin{pmatrix} 1 & 0 & -1 \\ \sqrt{2} & 0 & -\sqrt{2} \\ 1 & 0 & -1 \end{pmatrix}$$

Filtrene kan avvike med 180 grader fra boka siden vi angir dem til bruk ved konvolusjon. Boka antar de skal brukes til korrelasjon.

- Horisontale kanter:  $g_x = h_x * f$
- Vertikale kanter:  $g_y = h_y * f$
- Gradient-magnitude og -retning:

$$M(i, j) = \sqrt{g_x^2(x, y) + g_y^2(x, y)}$$

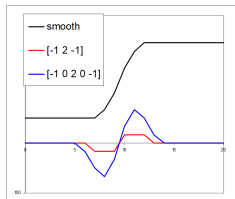
$$\theta(i, j) = \tan^{-1} \left( \frac{g_y(i, j)}{g_x(i, j)} \right)$$

# Laplace - operatoren

- Laplace-operatoren er gitt ved:

$$\nabla^2 f = \frac{\partial^2 f}{\partial x^2} + \frac{\partial^2 f}{\partial y^2}$$

- Den endrer fortegn der  $f$  er et vendepunkt
- $\nabla^2 f = 0$  markerer kant-posisjon
- $|\nabla^2 f|$  har to ekstremverdier pr kant; på starten og på slutten av kanten  $\rightarrow$  var dette vi brukte tidligere til å forbedre bildeskarpheit!
- **Nullgjennomgang:** Kantens eksakte posisjon
- Finner kant-posisjoner, men ikke retninger



- Anvend 1D-Laplace operatoren i begge retninger og summér:

$$\begin{aligned} -\nabla^2 f &= -\frac{\partial^2 f}{\partial x^2} - \frac{\partial^2 f}{\partial y^2} \\ &\approx -f(i-1, j) + 2f(i, j) - f(i+1, j) - \\ &\quad f(i, j-1) + 2f(i, j) - f(i, j+1) \end{aligned}$$

- Dette kan beregnes ved å konvolvare  $f$  med:

$$\begin{pmatrix} 0 & -1 & 0 \\ -1 & 4 & -1 \\ 0 & -1 & 0 \end{pmatrix}$$



- Hvis vi i tillegg anvender 1D-Laplace tilnærmingen langs begge diagonaler, får vi det som kan beregnes ved:

$$\begin{pmatrix} -1 & -1 & -1 \\ -1 & 8 & -1 \\ -1 & -1 & -1 \end{pmatrix}$$

- Dette er filteret vi brukte til:
  - Punkt-deteksjon
  - Øke bildeskarpheiten

# Sobel vs. Laplace

- Sobel-filtrering: bred kant



- Laplace-filtrering: dobbel kant



- Vi gjorde gradient-operatorene støy-robuste ved å bygge inn lavpassfiltrering

$$h_x = \begin{pmatrix} 1 & 2 & 1 \\ 0 & 0 & 0 \\ -1 & -2 & -1 \end{pmatrix} = \begin{pmatrix} 1 \\ 0 \\ -1 \end{pmatrix} * (1 \ 2 \ 1) \quad h_y = \begin{pmatrix} 1 & 0 & -1 \\ 2 & 0 & -2 \\ 1 & 0 & -1 \end{pmatrix} = (1 \ 0 \ -1) * \begin{pmatrix} 1 \\ 2 \\ 1 \end{pmatrix}$$

- Kan gjøre det samme med Laplace-operator!
- Vanlig å bygge inn et Gauss-filter  $G$  med gitt  $\sigma$ :

$$h_{\text{LoG}} = -\nabla^2 * G,$$

som gir oss **Laplacian-of-Gaussian**-operatoren (LoG)!

# Cannys algoritme

1. Lavpassfiltrér med 2D Gauss-filter med en bruker-bestemt  $\sigma$
2. Finn gradient-magnituden og gradient-retningen
3. Tynning av gradient-magnitudo ortogonalt på kant
  - Hvis en piksel i gradient-magnitudo bildet har en 8-nabo i eller mot gradient-retningen med høyrere verdi, settes pikselverdien til 0
4. Hysteresese-terskling med to bruker-bestemte terskler  $T_h$  og  $T_l$ :
  - 4.1 Merk alle piksler der  $g(x, y) \geq T_h$
  - 4.2 For alle piksler der  $g(x, y) \in [T_l, T_h)$ :

Hvis pikselen er (4 eller 8)-nabo til en merket piksel, så merkes denne pikselen også
  - 4.3 Gjenta trinnet over frem til det ikke merkes noen piksler

# Erosjon

- Plassér strukturelementet  $S$  slik at origo overlapper med posisjon  $(x, y)$  i innbildet  $f$  og beregn utbildet  $g$  ved:

$$g(x, y) = \begin{cases} 1, & \text{hvis } S \text{ passer } f \\ & \text{i posisjonen } (x, y) \\ 0, & \text{ellers} \end{cases}$$

- Vi skriver erosjon av et bilde  $f$  med strukturelement  $S$  som:  $f \ominus S$

0	1	0	0	0	0	0	1	1	0	0
1	1	1	0	0	0	1	1	1	1	0
0	1	1	1	0	1	1	1	1	0	0
0	0	1	1	1	1	1	1	0	0	0
0	0	0	1	1	1	1	1	1	0	0
0	0	1	1	1	1	0	1	1	1	0
0	1	1	1	1	0	0	0	1	1	1
0	0	1	1	0	0	0	0	1	0	

Erodert med

1	1	1
1	1	1
1	1	1

gir

0	1	0
1	1	1
0	1	0

gir

0	0	0	0	0	0	0	0	0	0	0
0	0	0	0	0	0	0	0	0	0	0
0	0	0	0	0	0	0	0	0	0	0
0	0	0	0	0	0	1	0	0	0	0
0	0	0	0	1	0	0	0	0	0	0
0	0	0	0	0	0	0	0	0	0	0
0	0	0	0	0	0	0	0	0	0	0
0	0	0	0	0	0	0	0	0	0	0
0	0	0	0	0	0	0	0	0	0	0

0	0	0	0	0	0	0	0	0	0	0
0	1	0	0	0	0	0	1	1	0	0
0	0	1	0	0	0	1	1	0	0	0
0	0	0	1	0	1	1	0	0	0	0
0	0	0	0	1	1	0	1	0	0	0
0	0	0	1	1	0	0	0	1	0	0
0	0	1	1	0	0	0	0	0	1	0
0	0	0	0	0	0	0	0	0	0	0

Erodering fjerner piksler langs omrisset av et objekt

- Kantene til objektene i bildet kan finnes ved  $g = f - (f \ominus S)$
- Strukturelementet  $S$  bestemmer kantens tilkoblingstype:

Innbilde

0	0	1	1	1	1	0	1	1	1	0
0	1	1	1	1	1	1	1	1	1	0
0	1	1	1	1	1	1	1	1	1	0
1	1	1	1	0	1	1	1	1	1	1
0	1	1	1	1	1	1	1	1	1	1
0	1	1	1	1	1	1	1	1	1	0
0	1	1	1	1	1	1	1	1	1	0
0	0	0	0	0	1	1	1	0	0	0

Eroderert med

0	1	0
1	1	1
0	1	0

gir

1	1	1
1	1	1
1	1	1

gir

0	0	0	0	0	0	0	0	0	0	0
0	0	1	1	1	1	0	1	1	0	0
0	0	1	1	0	1	1	1	1	0	0
0	0	1	1	0	0	0	1	1	1	1
0	0	1	1	0	1	1	1	1	1	0
0	0	1	1	1	1	1	1	1	1	0
0	0	0	0	0	0	1	1	1	0	0
0	0	0	0	0	0	0	0	0	0	0

0	0	0	0	0	0	0	0	0	0	0
0	0	0	1	1	0	0	0	1	0	0
0	0	1	0	0	0	1	1	1	0	0
0	0	1	0	0	0	1	1	1	0	0
0	0	1	0	0	0	1	1	1	0	0
0	0	1	1	1	1	1	1	1	0	0
0	0	0	0	0	0	1	0	0	0	0
0	0	0	0	0	0	0	0	0	0	0

Differanse med innbildet

0	0	1	1	1	1	0	0	1	1	1	0
0	1	0	0	0	0	1	0	0	1	0	
0	1	0	0	1	0	0	0	0	0	1	0
1	0	0	1	0	1	0	0	0	0	0	1
0	1	0	0	1	0	0	0	0	0	0	1
0	1	1	1	1	0	0	0	0	1	1	0
0	0	0	0	0	1	1	1	0	0	0	0

Sammenhengende  
kanter ved  
8-tilkobling

0	0	1	1	1	1	0	0	1	1	1	0
0	1	1	0	0	1	1	1	0	1	0	
0	1	0	1	1	0	0	0	0	0	1	0
1	1	0	1	0	1	0	0	0	0	1	1
0	1	0	1	1	1	0	0	0	0	1	1
0	1	0	0	0	0	0	0	0	0	1	0
0	1	1	1	1	1	0	1	1	1	1	0
0	0	0	0	0	1	1	1	0	0	0	0

Sammenhengende  
kanter ved  
4-tilkobling

- Erosjon er ikke kommutativ:  $f \ominus S \neq S \ominus f$
- Erosjon er ikke assosiativ, men har heller  $(f \ominus S_1) \ominus S_2 = f \ominus (S_1 \oplus S_2)$

# Dilasjon (dilatasjon)

- Rotér  $S$  180 grader for å få  $\hat{S}$  og plasser det slik at origo overlapper posisjon  $(x, y)$  i innbildet  $f$  og beregn utbildet  $g$  ved

$$g(x, y) = \begin{cases} 1, & \text{hvis } \hat{S} \text{ treffer } f \text{ i} \\ & \text{posisjonen } (x, y) \\ 0, & \text{ellers} \end{cases}$$

- Dilasjon av et bilde  $f$  med strukturelement  $S$  skrives som:  $f \oplus S$

0	0	0	0	0	0	0	0	0	0	
0	1	0	0	0	0	0	1	1	0	0
0	0	1	0	0	0	1	1	0	0	0
0	0	0	1	0	1	1	0	0	0	0
0	0	0	0	1	1	0	1	0	0	0
0	0	0	1	1	0	0	0	1	0	0
0	0	1	1	0	0	0	0	0	1	0
0	0	0	0	0	0	0	0	0	0	0

Dilatert med

1	1	1
1	1	1
1	1	1

gir

0	1	0
1	1	1
0	1	0

gir

1	1	1	0	0	0	1	1	1	1	0
1	1	1	1	0	1	1	1	1	1	0
1	1	1	1	1	1	1	1	1	1	0
0	1	1	1	1	1	1	1	1	0	0
0	0	1	1	1	1	1	1	1	1	0
0	1	1	1	1	1	1	1	1	1	1
0	1	1	1	1	0	1	1	1	1	1
0	1	1	1	1	0	0	1	1	1	1

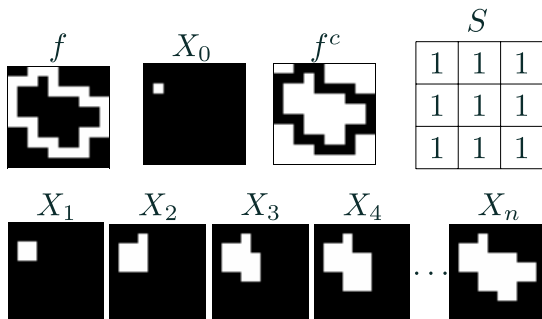
0	1	0	0	0	0	0	1	1	0	0
1	1	1	0	0	0	1	1	1	1	0
0	1	1	1	0	0	1	1	1	1	0
0	0	1	1	1	1	1	1	0	0	0
0	0	0	1	1	1	1	1	1	0	0
0	0	1	1	1	1	0	1	1	1	0
0	1	1	1	1	0	0	0	1	1	1
0	0	1	1	0	0	0	0	0	1	0



## Anvendelse av dilasjon: region-fylling

La  $x_0$  inneholde et punkt i regionen som skal fylles.

Iterativt beregn  $X_k = (X_{k-1} \oplus S) \cap f^c$  inntil konvergens



Her er hvit forgrunn og svart bakgrunn

Bildene er hentet fra [denne siden](#) (siden beskriver også dilasjon)

- Dilasjon er *kommutativ*:  $f \oplus S = S \oplus f$
- Dilasjon er *assosiativ*:  $f \oplus (S_1 \oplus S_2) = (f \oplus S_1) \oplus S_2$

- Dilasjon og erosjon er **duale**, dvs at vi kan uttrykke dem ved hjelp av hverandre:

$$f \oplus S = (f^c \ominus \hat{S})^c$$

$$f \ominus S = (f^c \oplus \hat{S})^c$$

- $\Rightarrow$  Vi kan utføre dilasjon og erosjon ved samme prosedyre så lenge vi kan rotere  $S$  180 grader og finne komplementet til et binært bilde!

Bildet  $f$

0	0	0	0	0	0	0	0	0	0
0	0	0	0	0	0	0	0	0	0
0	0	1	1	0	0	1	1	0	0
0	0	0	1	1	1	0	0	1	0
0	0	0	1	0	0	0	0	1	0
0	0	0	0	1	0	0	0	1	0
0	0	0	0	0	1	0	0	1	0
0	0	0	0	0	0	1	0	1	0
0	0	0	0	0	0	0	1	0	0
0	0	0	0	0	0	0	0	0	0

Komplementet  $f^c$

1	1	1	1	1	1	1	1	1	1
1	1	1	1	1	1	1	1	1	1
1	1	0	0	1	1	0	0	0	1
1	1	1	0	0	0	1	1	0	1
1	1	1	0	1	1	1	0	0	1
1	1	1	1	0	1	1	0	1	1
1	1	1	1	1	0	1	1	0	1
1	1	1	1	1	0	1	0	1	1
1	1	1	1	1	1	0	1	0	1
1	1	1	1	1	1	1	1	1	1

Dilatert med

0	1	0
1	1	1
0	1	0

gir

0	0	0	0	0	0	0	0	0	0
0	0	1	1	0	0	1	1	0	0
0	1	1	1	1	1	1	1	1	0
0	0	1	1	1	1	1	1	1	0
0	0	1	1	1	1	0	1	1	0
0	0	0	1	1	1	1	1	1	0
0	0	0	0	1	1	1	1	1	0
0	0	0	0	0	1	0	1	0	0
0	0	0	0	0	0	1	0	0	0
0	0	0	0	0	0	0	0	0	0

Erodert med

0	1	0
1	1	1
0	1	0

gir

1	1	1	1	1	1	1	1	1	1
1	1	0	0	1	1	0	0	0	1
1	0	0	0	0	0	0	0	0	1
1	1	0	0	0	0	0	0	0	1
1	1	0	0	0	0	1	0	0	1
1	1	1	0	0	0	1	0	0	1
1	1	1	1	1	0	0	0	0	1
1	1	1	1	1	0	0	0	0	1
1	1	1	1	1	1	0	1	0	1
1	1	1	1	1	1	1	1	1	1

- **Erosjon:** fjerner alle strukturer som ikke kan inneholde strukturelementet og krymper andre strukturer
- Dilasjon av resultatet med samme strukturelement kan vi omtrentlig gjenskape de strukturene som “overlevde” erosjonen
- **Morfologisk åpning:**  $f \circ S = (f \ominus S) \oplus S$
- Åpning i form av at operasjonen kan skape en åpning mellom to strukturer som henger sammen ved en tynn linje/“bro” uten å krympe strukturene i betydelig grad

- **Dilasjon:** Utvider strukturer, fyller hull og innbuktninger i omriss
- Erosjon av resultatet med samme strukturelement vil strukturene stort sett få gjenskapt sin opprinnelige størrelse og form, men uten hull og innbuktninger som ble fylt ved dilasjon
- **Morfologisk lukking:**  $f \bullet S = (f \oplus S) \ominus S$
- Lukking i form av at operasjonen kan lukke en åpning mellom to strukturer som er skilt ved et lite gap, uten av strukturene i seg selv vokser i betydelig grad

# Dualitet mellom åpning og lukking

- Lukking er en dual operasjon til åpning:

$$f \bullet S = (f^c \circ \hat{S})^c$$

$$f \circ S = (f^c \bullet \hat{S})^c$$

- Kan utføre begge operasjonene med kode bare for den ene, hvis vi kan speilvende og komplementere et binært bilde!
- **Lukking** er *ekstensiv* transformasjon (pikslar legges til)
- **Åpning** er *antiekstensiv* transformasjon (pikslar fjernes)

$$f \circ S \subseteq f \subseteq f \bullet S$$

## “Hit-or-miss”-transformasjonen

- Har bilde  $f$  og strukturelement  $S$
- Lar  $S$  være definert ved  $\{S_1, S_2\}$ , som er to strukturelementer som har ikke noe til felles
- **“Hit-or-miss”-transformasjonen:**

$$f \circledast S = f \circledast \{S_1, S_2\} = (f \ominus S_1) \cap (f^c \ominus S_2)$$

- Vi får en forgrunns piksel i utbildet bare hvis
  - $S_1$  passer forgrunnen rundt pikselen **og**
  - $S_2$  passer bakgrunnen rundt pikselen
- Kan brukes til finne/behandle visse mønstre i et bilde, f.eks ved
  - Finne bestemte strukturer
  - Fjerne enkeltpikslar
  - Brukt til tynning

# Eksempel: "Hit-or-miss"

```
00000000000000000000
00100000000000000000
00100011110000000000
011100000000011000
00100000000001110
00001000000000100
000011100000000000
000010000000000000
000000000000000000
```

Et bilde A

```
11111111111111111111
11011111111111111111
11011100001111111111
1000111111110011
1101111111110001
1111101111111011
111100011111111111
111110111111111111
111111111111111111
```

A<sup>c</sup> - komplementet til bildet  
(er 1 utenfor randen)

```
010
111
010
```

Strukturelement  
S<sub>1</sub>

```
101
000
101
```

Strukturelement  
S<sub>2</sub>

```
00000000000000000000
00000000000000000000
00000000000000000000
00100000000000000000
000000000000000100
00000000000000000000
00000100000000000000
00000000000000000000
00000000000000000000
```

Resultat etter erosjon med S<sub>1</sub>

```
10101111111111111111
10101000001111111111
0000111111100001
10101000000000000000
0000010111100001
1010000011100000
1111010111110101
111000011111111111
111101011111111111
```

A<sup>c</sup> erodert med S<sub>2</sub>

```
00000000000000000000
00000000000000000000
00000000000000000000
00100000000000000000
00000000000000000000
00000000000000000000
00000100000000000000
00000000000000000000
00000000000000000000
```

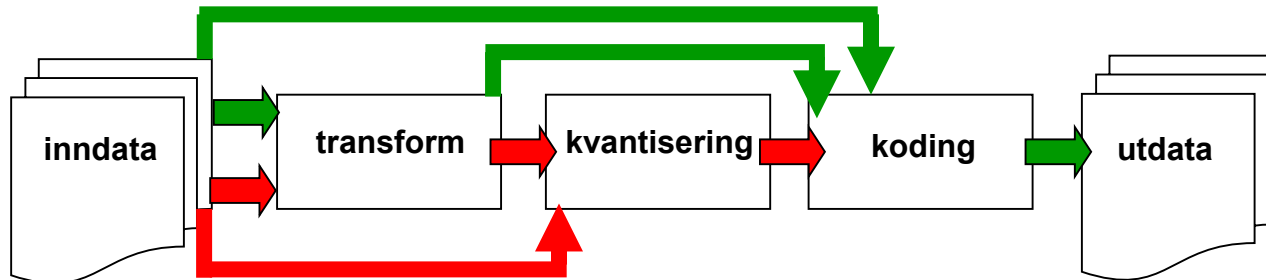
«Hit-or-miss»-resultatet

Logisk AND av de  
to delresultatene



# Kompresjon

- Kompresjon kan deles inn i tre steg:
  - **Transform** - representér bildet mer kompakt.
  - **Kvantisering** - avrund representasjonen.
  - **Koding** - produsér og bruk en kodebok.



- Kompresjon kan gjøres:
  - **Eksakt / tapsfri** (eng.: *lossless*) – følg de grønne pilene.
    - Kan da eksakt rekonstruere det originale bildet.
  - **Ikke-tapsfri** (eng.: *lossy*) – følg de røde pilene.
    - Kan da (generelt) ikke eksakt rekonstruere bildet.
    - Resultatet kan likevel være «godt nok».
  - Det finnes en mengde ulike metoder innenfor begge kategorier.

# Entropi

- Gjennomsnittlig informasjonsinnhold i sekvensen, også kalt gjennomsnittlig informasjon per symbol, er da:

$$H = \sum_{i=0}^{G-1} p_i I(s_i) = - \sum_{i=0}^{G-1} p_i \log_2 p_i$$

Hvis  $p(s_i)=0$  lar vi det tilhørende entropibidraget,  $0 \log_2 0$ , være 0.

- H er entropien til sekvensen av symbolene.
- **Entropien setter en nedre grense for hvor kompakt sekvensen kan representeres.**
  - Men dette gjelder bare hvis vi koder hvert symbol for seg.

# 10 slides om Huffman-koding

---

- Huffman-koding er en algoritme for variabel-lengde koding som er **optimal** under begrensningen at vi **koder symbol for symbol**.
  - Med *optimal* menes her minst mulig kodings-redundans.
- Antar at vi kjenner hyppigheten for hvert symbol.
  - Enten spesifisert som en modell.
    - Huffman-koden er da optimal hvis modellen stemmer.
  - Eller så kan vi bruke symbol-histogrammet til sekvensen.
    - Huffman-koden er da optimal for sekvensen.
    - Ofte bruker vi sannsynlighetene i stedet, men vi kan like godt benytte hyppighetene.

# Huffman-koding: Algoritmen

---

Gitt en sekvens med  $N$  symboler:

1. Sorter symbolene etter sannsynlighet, slik at de minst sannsynlige kommer sist.
2. Slå sammen de to minst sannsynlige symbolene til en gruppe, og sorter igjen etter sannsynlighet.
3. Gjenta 2 til det bare er to grupper igjen.
4. Gi koden 0 til den ene gruppen og koden 1 til den andre.
5. Traverser innover i begge gruppene og legg til 0 og 1 bakerst i kodeordet til hver av de to undergruppene.

# Eksempel: Huffman-koding

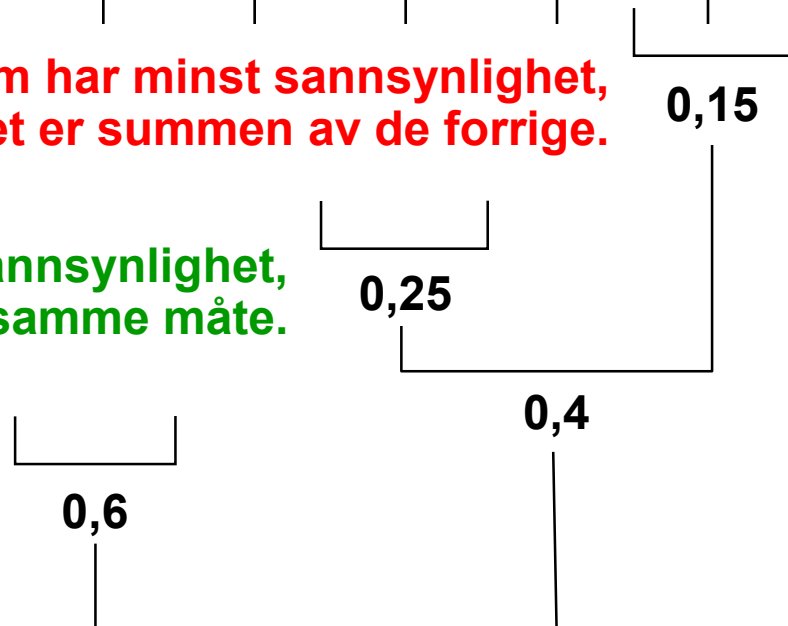
- La oss finne Huffman-koden til modellen som består av følgende seks begivenheter med sannsynligheter:

Begivenhet	A	B	C	D	E	F
Sannsynlighet	0,3	0,3	0,13	0,12	0,1	0,05

**Slå sammen de to gruppene som har minst sannsynlighet, Den nye gruppens sannsynlighet er summen av de forrige.**

**Finn de to som nå har minst sannsynlighet, og slå dem sammen på samme måte.**

**Fortsett til det er bare to igjen.**

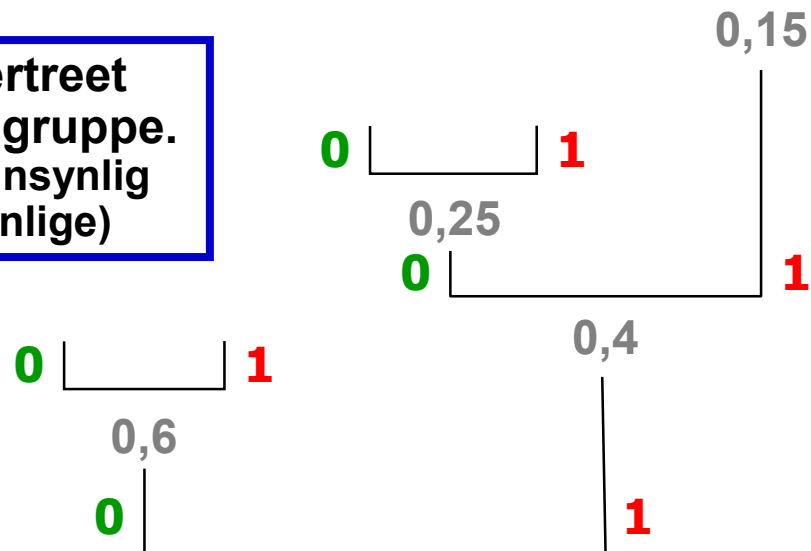


# Eksempel: Huffman-koding

- La oss finne Huffman-koden til modellen som består av følgende seks begivenheter med sannsynligheter:

Begivenhet	A	B	C	D	E	F
Sannsynlighet	0,3	0,3	0,13	0,12	0,1	0,05

**Gå baklengs gjennom binærtreet og tilordne 0 eller 1 til hver gruppe. (F. eks. kode 0 til den mest sannsynlig og kode 1 til den minst sannsynlige)**



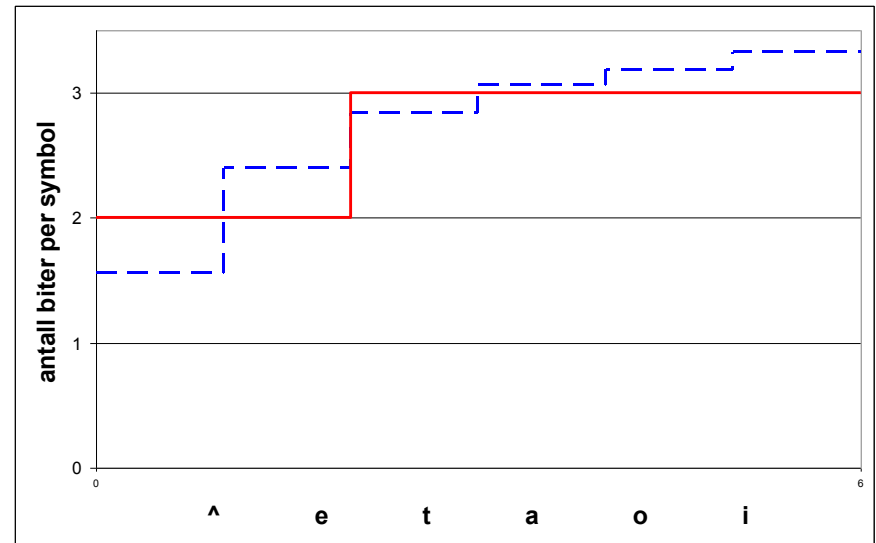
# Ideell og faktisk kodeord-lengde

- Hvis gjennomsnittlig antall biter per symbol,  $c$ , skal være lik entropien,  $H$ , så må:

$$c = \sum_{i=0}^{G-1} b_i p_i = - \sum_{i=0}^{G-1} p_i \log_2 p_i = H$$

- Informasjonsinnholdet  $I(s_i)$  i hendelsen  $s_i$  angir altså den **ideelle binære kodeordlengden** for symbol  $s_i$ :  $b_i = I(s_i) = \log_2 \frac{1}{p_i}$

- Plotter den ideelle lengden på kodeordene (vist i blått) sammen med de faktiske kodeordlengden (vist i rødt) for forrige eksempel, får vi:



# Når gir Huffman-koding ingen kodingsredundans?

- Den **ideelle binære kodeordlengden** for symbol  $s_i$  er:

$$b_i = -\log_2(p_i)$$

- Siden **bare heltalls kodeordlengder er mulig**, er det bare når  $p_i = \frac{1}{2^k}$  for et heltall  $k$  som dette kan tilfredsstilles.

- Eksempel: Hvis meldingen har sannsynlighetene:

Symbol	$s_0$	$s_1$	$s_2$	$s_3$	$s_4$	$s_5$
Sannsynlighet	0,5	0,25	0,125	0,0625	0,03125	0,03125
Huffman-kodeord	0	10	110	1110	11110	11111

er gjennomsnittlig bitforbruk per symbol etter Huffman-koding:

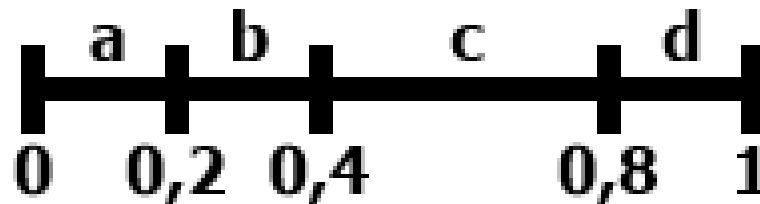
$$c = 1,9375 = H$$

der  $H$  er entropien. Altså får vi **ingen kodingsredundans!**



# Aritmetisk koding: Grunntanke

- Symbolsannsynlighetene summerer seg til 1.
- Dermed definerer de en **oppdeling av intervallet  $[0, 1)$** .
  - Hvert delintervall representerer ett symbol.



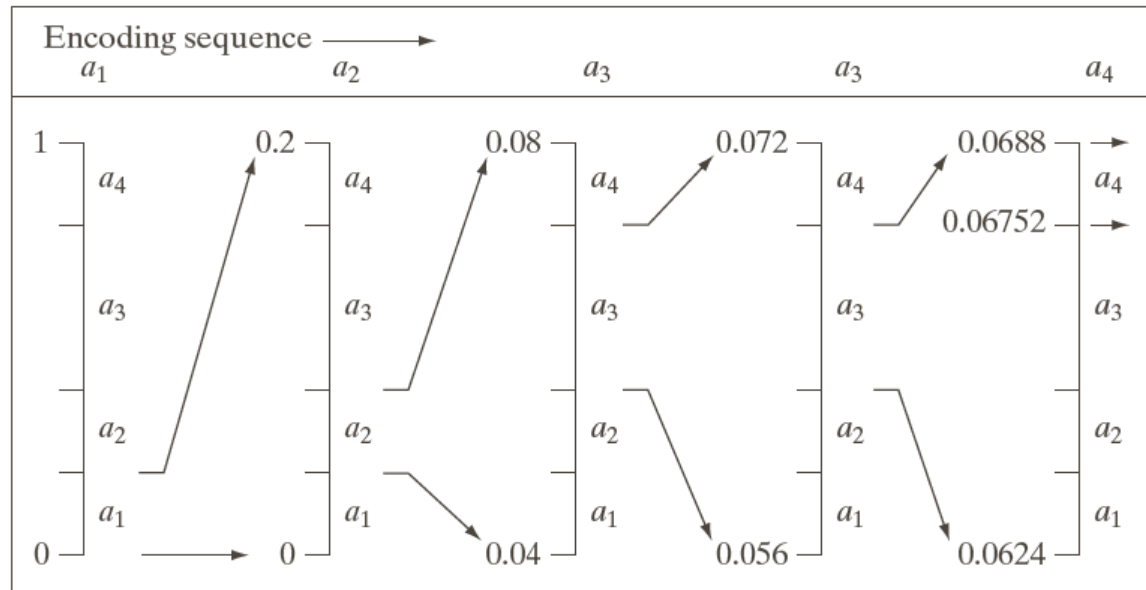
- Har vi to symboler etter hverandre, kan vi **oppdele intervallet som representerer det første symbolet**.
  - Hvert delintervall representerer symbolparet; det første symbolet etterfulgt av ett symbol.



- Tilsvarende for flere symboler etter hverandre.
- Resultat: Et halvåpent delintervall av  $[0, 1)$ .
- Finner så en bitsekvens som representerer intervallet.

# Eksempel: Aritmetisk koding

- Sannsynlighetsmodell:  $P(a_1)=P(a_2)=P(a_4)=0,2$  og  $P(a_3)=0,4$
- Melding/symbolsekvens:  $a_1a_2a_3a_3a_4$



- $a_1$  ligger i intervallet  $[0, 0,2)$
- $a_1a_2$  ligger i intervallet  $[0,04, 0,08)$
- $a_1a_2a_3$  ligger i intervallet  $[0,056, 0,072)$
- $a_1a_2a_3a_3$  ligger i intervallet  $[0,0624, 0,0688)$
- $a_1a_2a_3a_3a_4$  ligger i intervallet  $[0,06752, 0,0688)$

# AK: Kodingseksempel

---

- Modell: Alfabet  $[a, b, c]$  med sannsynligheter  $[0,6, 0,2, 0,2]$ .
- Hvilket delintervall av  $[0, 1)$  vil entydig representere meldingen **acaba** ?
- **a** ligger i intervallet  $[0, 0,6)$ .
  - «Current interval» har nå en bredde på 0.6.
- **ac** ligger i intervallet  $[0+0,6*0,8, 0+0,6*1) = [0,48, 0,6)$ .
  - Intervallbredden er nå 0,12 (= produktet  $0,6*0,2$ ).
- **aca** ligger i intervallet  $[0,48+0,12*0, 0,48+0,12*0,6) = [0,48, 0,552)$ .
  - Intervallbredden er 0,072 (= produktet  $0,6*0,2*0,6$ ).
- **acab** er i  $[0,48+0,072*0,6, 0,48+0,072*0,8) = [0,5232, 0,5376)$ .
  - Intervallbredden er 0,0144 (= produktet  $0,6*0,2*0,6*0,2$ ).
- **acaba** er i  $[0,5232+0,0144*0, 0,5232+0,0144*0,6) = [0,5232, 0,53184)$ .
  - Intervallbredden er nå 0,00864 (= produktet  $0,6*0,2*0,6*0,2*0,6$ ).
- Et tall i dette intervallet, f.eks. 0,53125, vil entydig representere **acaba**, forutsatt at mottakeren har den samme modellen og vet når å stoppe.

# Differansetransform

- Utnytter at horisontale nabopiksler ofte har ganske lik gråtone.

- Gitt en rad i bildet med gråtoner:

$$f_1, \dots, f_N \text{ der } 0 \leq f_i \leq 2^b - 1$$

- Transformer (reversibelt) til

$$g_1 = f_1, g_2 = f_2 - f_1, \dots, g_N = f_N - f_{N-1}$$

- Merk at:  $-(2^b - 1) \leq g_i \leq 2^b - 1$

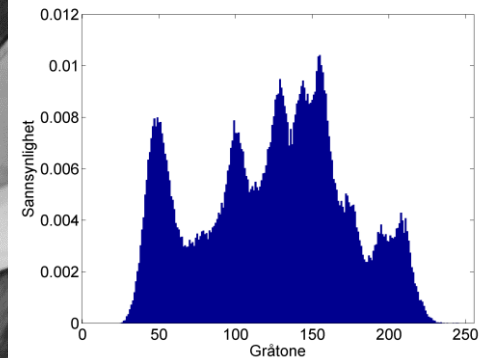
- Må bruke  $b+1$  biter per  $g_i$  hvis vi skal tilordne like lange kodeord til alle mulig verdier.

- De fleste differansene er nær 0.

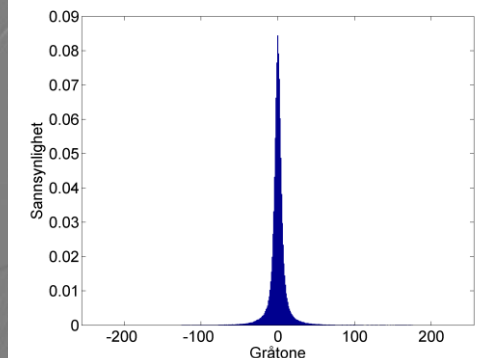
- Naturlig binærkoding av differansene er **ikke** optimalt.

- Bildet  $f$  gjenskapes ved transformen:

$$f_1 = g_1, f_2 = g_2 + f_1, \dots, f_N = g_N + f_{N-1}$$



$$\text{Entropi} \approx 7,45 \Rightarrow \text{CR} = b/c \approx 1,07$$



$$\text{Entropi} \approx 5,07 \Rightarrow \text{CR} = b/c \approx 1,58$$

# Løpelengde-transform

- Ofte inneholder bildet objekter med lignende gråtoner, f.eks. svarte bokstaver på hvit bakgrunn.
- Løpelengde-transformen (eng.: *run-length transform*)  
**utnytter at horisontale nabopiksler har samme gråtone.**
  - Merk: Krever ekte likhet, ikke bare «omtrent like».
  - Løpelengde-transformen komprimerer bedre ettersom kompleksiteten i bildet blir mindre.
- Løpelengde-transformen er reversibel.
- Hvis pikselverdiene til en rad er:  
3333355555555544777777 (24 tall)
- Så starter løpelengde-transformen fra venstre og finner tallet 3 gjentatt 6 ganger etter hverandre, og returnerer derfor tallparet (3,6). **Formatet er: (tall, løpelengde)**
- For hele sekvensen vil løpelengdetransformen gi de 4 tallparene:  
(3,6), (5,10), (4,2), (7,6) (merk at dette bare er 8 tall)
- Kodingen avgjør hvor mange biter vi bruker for å lagre tallene.

# Eksempel: LZW-transform

- Alfabetet: a, b og c med koder 0, 1 og 2, henholdsvis.
- Meldingen: ababcbabababababababab (18 symboler)
- LZW-sender: ny streng = sendt streng plus neste usendte symbol
- LZW-mottaker: ny streng = nest siste streng plus første symbol i sist tilsendte streng

Ser	Sender	Senders liste	Mottar	Tolker	Mottakers liste
		a=0, b=1, c=2			a=0, b=1, c=2
a	0	ab=3	0	a	
b	1	ba=4	1	b	ab=3
ab	3	abc=5	3	ab	ba=4
c	2	cb=6	2	c	abc=5
ba	4	bab=7	4	ba	cb=6
bab	7	baba=8	7		

- » Vi mottar kode 7, men denne koden finnes ikke i listen!
- » Fra ny-streng-oppskriften vet vi at kode 7 ble laget ved: ba + ?
- » Siden kode 7 nå sendes, må: ? = b => 7 = ba + b = bab

# Ikke-tapsfri JPEG-dekompresjon

- Differansene fra den originale blokken er **små!**

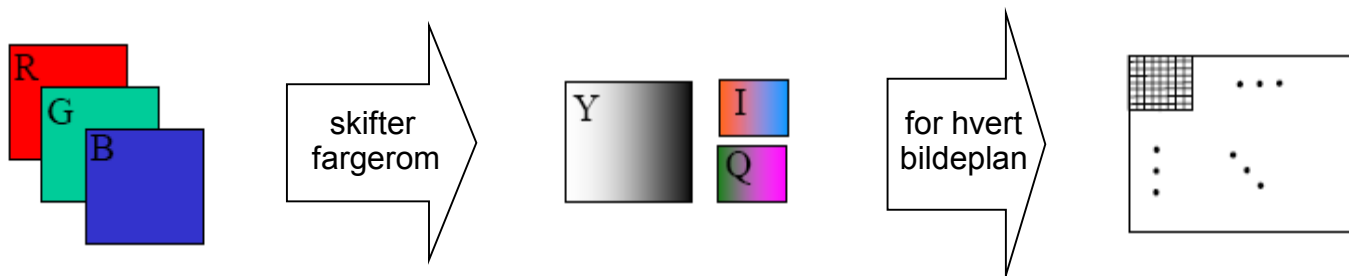
124 125 122 120 122 119 117 118		123 122 122 121 120 120 119 119		1 3 0 -1 -2 -1 -2 -1
121 121 120 119 119 120 120 118		121 121 121 120 119 118 118 118		0 0 -1 -1 0 2 2 0
126 124 123 122 121 121 120 120		121 121 120 119 119 118 117 117		5 3 3 3 3 3 3 3
124 124 125 125 126 125 124 124	-	124 124 123 122 122 121 120 120	=	0 0 2 3 4 4 4 4
127 127 128 129 130 128 127 125		130 130 129 129 128 128 128 127		-3 -3 -1 0 2 0 -1 -2
143 142 143 142 140 139 139 139		141 141 140 140 139 139 138 137		2 1 3 2 1 0 1 2
150 148 152 152 152 152 150 151		152 152 151 151 150 149 149 148		2 -4 1 1 2 3 1 3
156 159 158 155 158 158 157 156		159 159 158 157 157 156 155 155		-3 0 0 -2 -1 2 2 1

- De er **likevel ikke 0.**
- Det kan bli gjort forskjellig feil på nabopiksler, spesielt dersom de tilhører forskjellige blokker.
  - Kompresjon / dekompresjon kan derfor gi **blokk-artefakter**; rekonstruksjonsfeil som gjør at vi ser at bildet er blokk-inndelt.

# Ikke-tapsfri JPEG-kompresjon av fargebilde

- Skifter fargerom for å separere lysintensitet fra kromasi.
  - Stemmer bedre med hvordan vi oppfatter et fargebilde.
    - Lysintensiteten er viktigere enn kromasi for oss.
  - Kan også gi lavere kompleksitet i hver kanal.
- Nedsampler (normalt) kromasitet-kanalene.
  - Typisk med en faktor 2 i begge retninger.
- Hver bildekanal deles opp i blokker på 8x8 piksler, og hver blokk kodes separat som før.
  - Kan bruke forskjellige vektmatriser for intensitet- og kromasitet-kanalene.

Intet fargerom er spesifisert i del 1 (1992) av JPEG-standarden. En senere del, del 5 (2009), spesifiserer filformatet JFIF (JPEG File Interchange Format). Her brukes fargemodellen  $Y'CbCr$

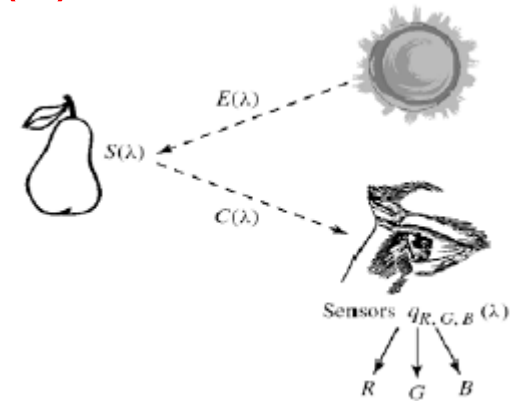




# Fargerom: Tre integraler gir RGB

## □ Lys fra en kilde med spektralfordeling $E(\lambda)$

- treffer et objekt med spektral refleksjonsfunksjon  $S(\lambda)$ .
- Reflektert lys detekteres av tre typer tapper med spektral lysfølsomhetsfunksjon  $q_i(\lambda)$ .



## □ Tre analoge signaler kommer ut av dette:

$$R = \int E(\lambda) S(\lambda) q_R(\lambda) d\lambda$$

$$G = \int E(\lambda) S(\lambda) q_G(\lambda) d\lambda$$

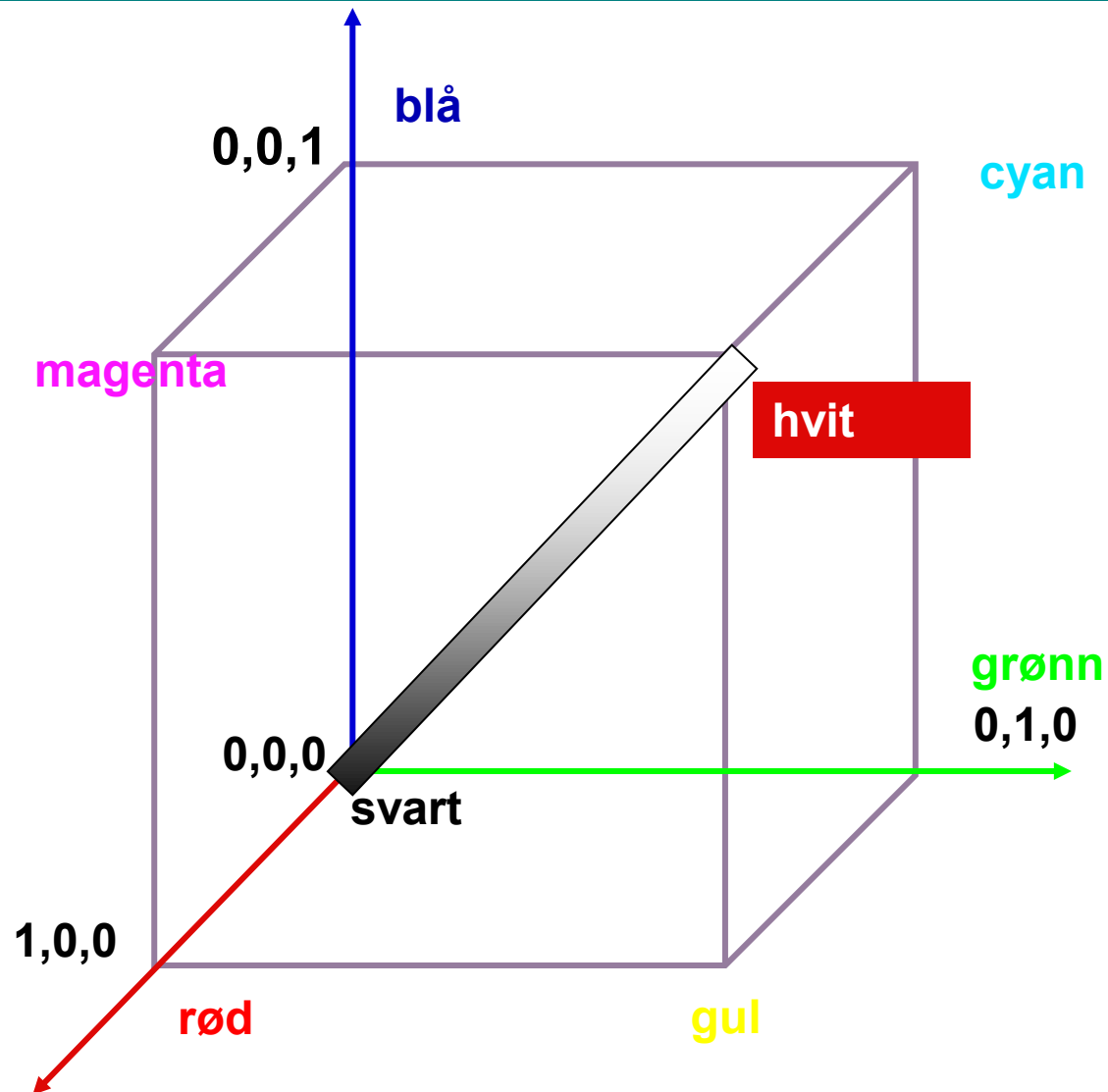
$$B = \int E(\lambda) S(\lambda) q_B(\lambda) d\lambda$$

# Beskrivelse av farger

---

- En farge kan beskrives på forskjellige måter (fargerom)
  - RGB
  - HSI (Hue, Saturation, Intensity)
  - CMY (Cyan, Magenta, Yellow)
  - pluss mange flere .....
  
- HSI er viktig for hvordan vi beskriver og skiller farger.
  - I – Intensitet: hvor lys eller mørk er den
  - S – saturation/metning: hvor ”sterk” er fargen
  - H – dominerende farge (bølgelengde)
  - H og S beskriver sammen fargen og kalles kromatisitet

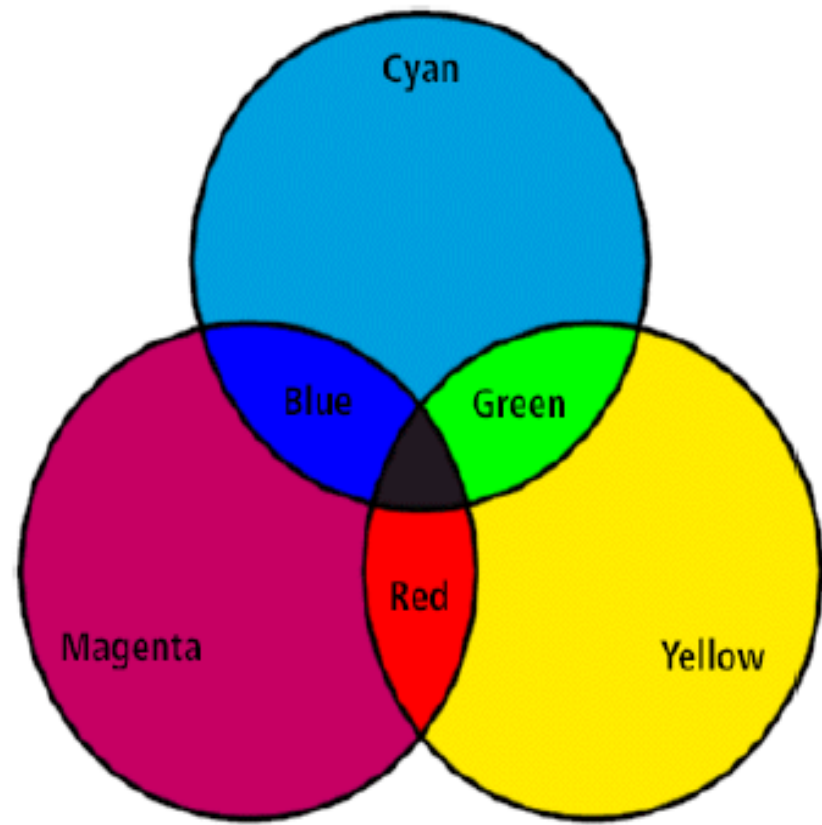
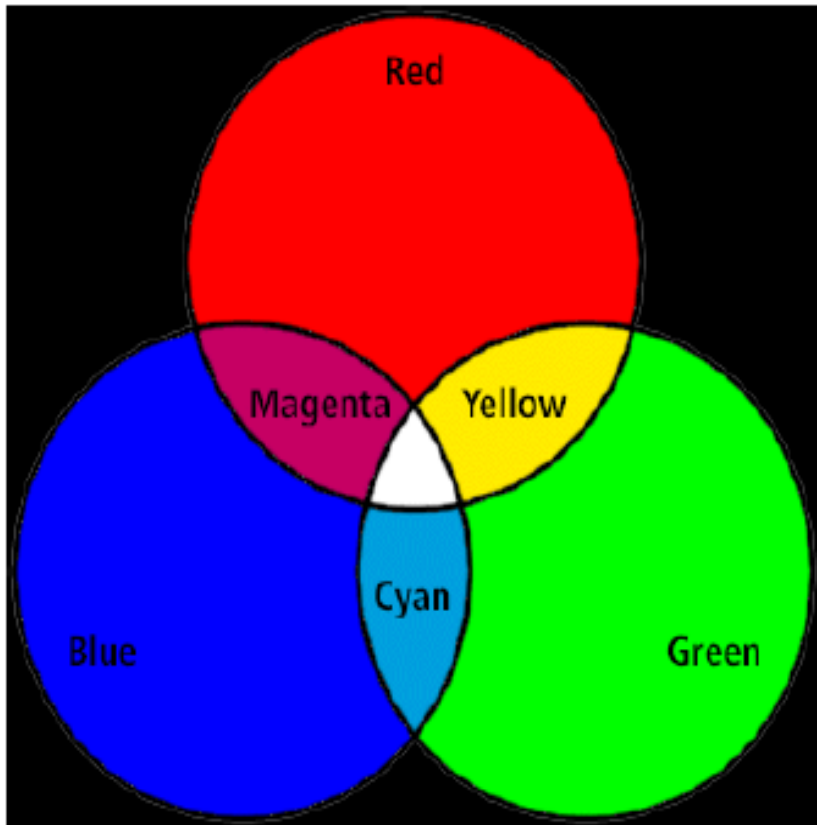
# RGB-kuben



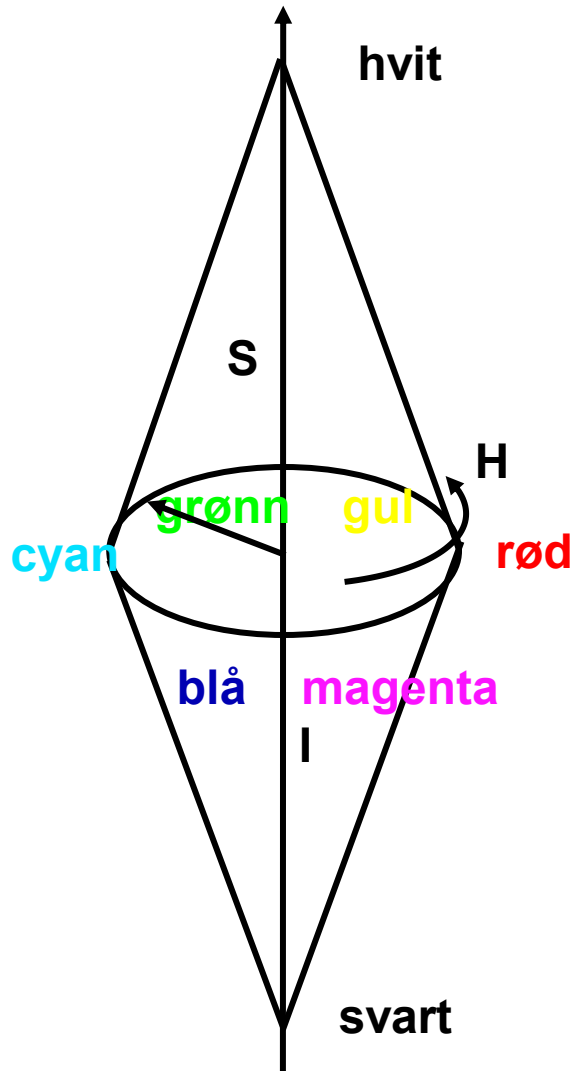
Gråtonebilder:  
 $r=g=b$

# RGB og CMY

- RGB og CMY er i prinsippet sekundærfarger for hverandre.



# Hue, Saturation, Intensity (HSI)



- Hue: ren farge - gir bølgelengden i det elektromagnetiske spektrum.



- H er vinkel og ligger mellom 0 og  $2\pi$ :  
**Rød**:  $H=0$ , **grønn**:  $H= 2\pi/3$ , **blå**=  $4\pi/3$ ,  
**gul**:  $H=\pi/3$ , **cyan**=  $\pi$ , **magenta**=  $5\pi/3$
- Hvis vi skalerer H-verdiene til 8-bits:  
**Rød**:  $H=0$ , **grønn**:  $H= 85$ , **blå**=  $170$ ,  
**gul**:  $H=42$ , **cyan**=  $127$ , **magenta**=  $213$ .